

熊本大学工学部 正員 下津昌司

河川の底水時流量は、いわゆる地下水流出であつてその源である流域の地下貯留量と底水流の関係を把握する目的で、阿蘇盆地流域の深井戸数点につき、地下水位の連続観測を41年秋より実施している。こゝでは、これまでに得られた観測結果の中で、2・3のことからについて報告をする。

流域概要

流域の状況については、

文献1), 2), 3)を参照いた

だくことにして、図-1

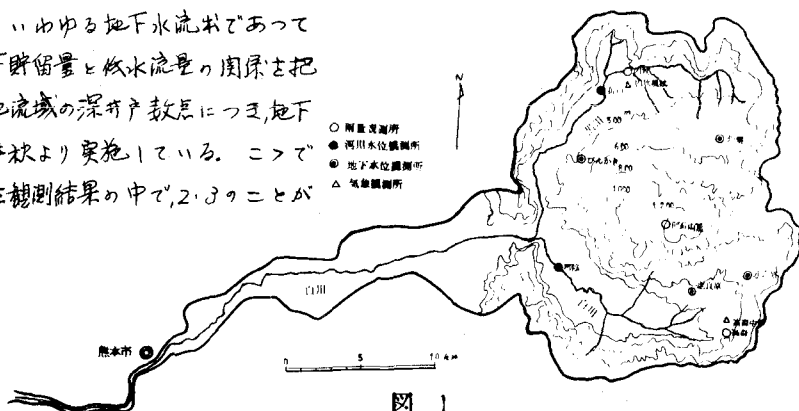


図 1

に各観測地點の配置を示す。図-2は地下水位観測井戸の地質柱状圖を示す。水位はよく年初期のものと示す。各地点とも被覆地下水を主体としている。

地下水位 地下水位の変動は大きく分けて、年季節にわたる長期的変動と、日置に由る程度の短期的変動にわけられる。長期変動の原因としては降雨の浸透、流動、帶水層からの排出による、いわゆる貯留量の増減が主体となる。それに対して短期的変動は気圧、気温、湿度などの気象要因の変動、あるいは潮汐、河川水位の変動、地震など特殊現象がその原因となる。普通地下水位は井戸水面によって認識され、その井水面の昇降がかなり広域にわたって同調的に起こる場合と、極めて局所的な区域における場合があるが、これは適当に多数の井戸の位置の昇降を総合的に観察することによって判断することができる。河川底水量の涵養源としての地下水を対象とする場合は主として長期的変動が問題となるが、短期的変動の中にも流域の帶水層に影響する要素が含まれている。

気圧変化の影響 この観測例によれば短期的変動を与える要素として最も顕著なものと考えられる。井水位が気圧の変動により上下する現象を呈するのは帶水層の圧縮性、上部地層の剛性によって果たした変動を示すといわれている。⁽³⁾ 図-4, 5に各地点の実測値例を示す。これによれば井水位の変動振幅は地点により差異があるが、気圧変動にかなり対応していることが観察される。

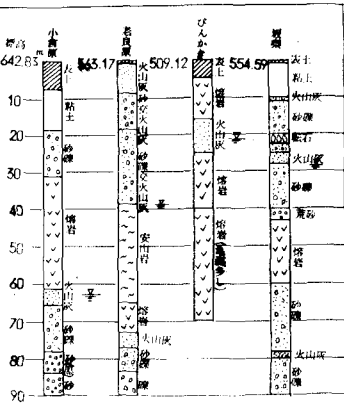


図 2

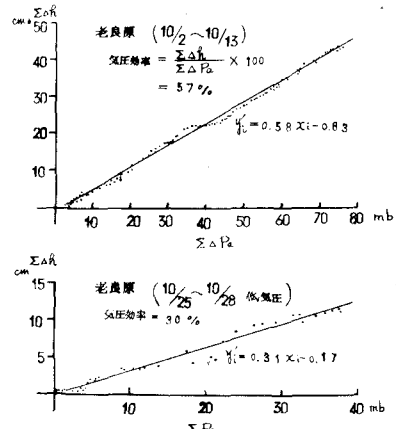


図 3

この気圧変化に対する井水位の変化の比を気圧係数と称し、気圧係数 $B = \frac{\frac{t \cdot \Delta h}{\Delta P_a}}{\Delta E_s + E_w} = \frac{\Delta E_s}{E_w \cdot S} = \frac{\Delta \cdot t \cdot b}{b \cdot S}$ ⁽⁴⁾ と定義される。この水位変化は井戸の水位変化であつて、その区域全面にわたり地下水位変化がどうかということである。この気圧係数は帶水層の貯留係数と關係がある点重要な意味を持つものと考えられる。気圧係数を W.E.CLAIRK の方法で⁽⁵⁾ 解析した例を図-3 に示す。これらが気圧により差異を生じる点、地盤潮汐の問題など構造物にゆずる。

長期的変動 図-6,7 によれば、川中より深層地下水水頭はほぼ一年周期の変化をくり返す。
びんかき地點は浅層の不被圧地下水が主体であることがから降雨との相間も他の地点に比較して敏感であり、その変化も複雑である。一方深層地下水の貯留の増加をおこすに必要な程度の降雨と水位上昇の間に 1.2 ~ 3ヶ月の時差があり、西日本各地は毎年に引きつづき千唐に見舞はれている現状これらに今後の資料の収集がまだある。

(1) 下津呂司“盆地に於ける地下水流の変化”第1回 水利講習会 4月 2日
 (2) 下津呂司“阿蘇流域河川の底水流について”22回秋季講習会 4月 5日
 (3) 例2 C.E.Jacob “On the flow of water in an elastic artesian aquifer” Trans Amer. Geol. U.
 (4) 1925 D.K.Todd “Ground Water Hydrology”
 1960, Pt. 19 ~ 142. (5) W.E.CLAIRK “Computing the Barometric Efficiency of a well” A.S.C.E., 4, 1967. (6) T.W.Robinson “Earth Tides shown by fluctuations of water-levels in wells in New Mexico & Iowa” Trans. A.G.U. Vol. 20

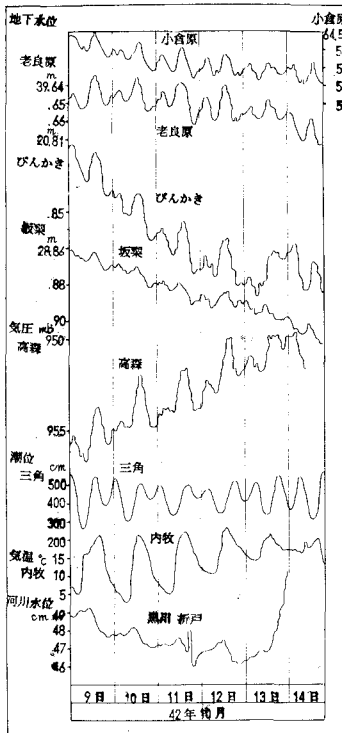


図 4

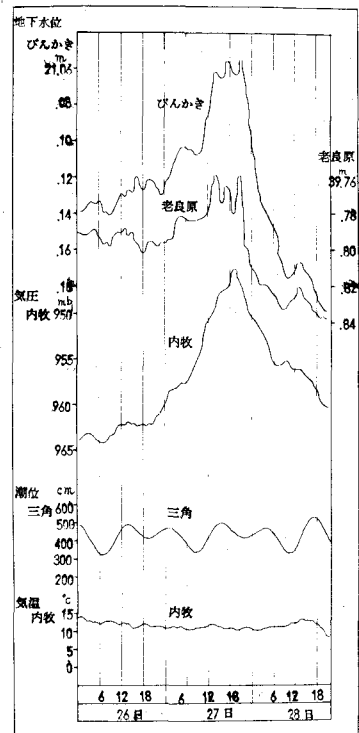


図 5

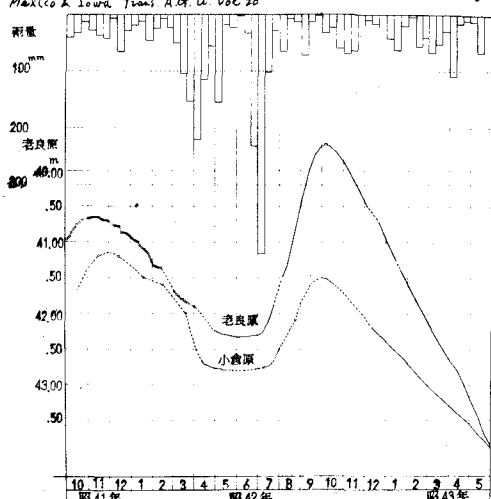


図 6

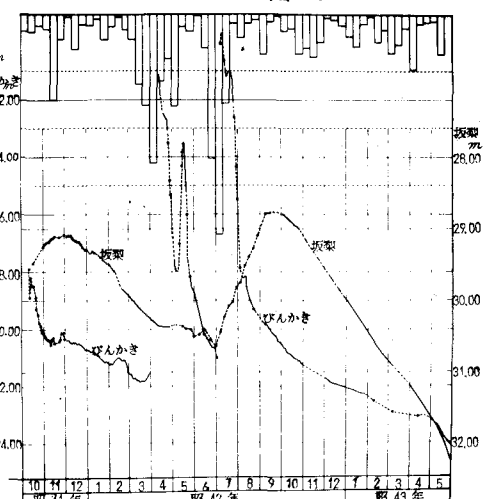


図 7